



CEUNES



Universidade Federal do Espírito Santo
Prof. Paulo Moscon

Prova 2 de Ciência dos Materiais - 2023/02

Questão 1 [2,5] Em temperaturas acima de 727 °C o Ferro cristalino se torna austenítico (um tipo de arranjo atômico). A aresta da célula unitária e sua densidade são de $a = 3,5778 \text{ \AA}$ e $8,099 \text{ g/cm}^3$, respectivamente. Encontre o número de átomos por célula unitária e o tipo de célula que corresponde à definição de fase austenítica.

Dados: Massa molar do Ferro = $55,85 \text{ g.mol}^{-1}$; número do Avogrado $N_A = 6,022 \times 10^{23}$

Solução:

$$\rho = \frac{\text{Massa}}{\text{Volume}} ;$$

Temos a densidade e o volume da célula unitária (a^3). Não temos a massa M dentro de uma célula unitária e o tipo de célula.

De forma geral Massa é dada por

$$M = N_A \cdot m$$

↑
↳ Massa de um átomo de Fe.
↳ Número de átomos dentro da cel.

$$\Rightarrow \rho = \frac{N \cdot m}{a^3}$$

onde a massa em 1 mol ($6,022 \times 10^{23}$ átomos) é de 56 g

$$\Rightarrow \frac{6,022 \times 10^{23} \text{ átomos}}{1 \text{ átomo}} = 55,85 \text{ g}$$

$$x = \frac{55,85}{6,022 \times 10^{23}} \text{ g}$$

$$x = \frac{55,85 \times 10^{-23}}{6,022} \text{ g}$$

$$\Rightarrow m = \frac{55,85}{6,022} \times 10^{-23} \text{ g}$$

$$m = \frac{55,85}{6,022} \times 10^{-26} \text{ kg}$$

Nota: Melhor não fazer a conta de divisão agora. Isso gera arredondamentos que afastam o resultado final do valor mais próximo do correto.

$$\Rightarrow \rho = \frac{N \cdot m}{a^3} . \quad \text{A única variável não conhecida é } \underline{N}.$$

$$N = \frac{\rho \cdot a^3}{m}$$

dados atualizados:

$$\rho = 8,009 \frac{\text{g}}{\text{cm}^3} = 8,009 \cdot \frac{10^{-3} \text{kg}}{(10^{-2} \text{m})^3}$$

$$\rho = 8,009 \cdot \frac{10^{-3}}{10^{-6}} \frac{\text{kg}}{\text{m}^3}$$

$$\rho = 8009 \frac{\text{kg}}{\text{m}^3}$$

$$\Rightarrow N = \frac{\rho a^3}{m}$$

$$N = \frac{8009 \cdot (3,5778 \cdot 10^{-30})^3}{\frac{55,85}{6,022} \cdot 10^{26}} \frac{\cancel{\text{kg}} \cdot \cancel{\text{m}^3}}{\cancel{\text{m}^3}} \frac{\text{kg}}{\text{átomo}}$$

$$N = \frac{8009 \cdot 3,5778^3 \cdot 6,022}{55,85} \cdot \frac{10^{-30}}{10^{-26}} \text{ átomos}$$

$$N \approx 3,955$$

$$N = 4 \text{ átomos} \quad \text{só pode ser inteiro}$$

$$N = 4 \text{ átomos}$$

→ Célula unitária com 4 átomos corresponde à Cúbica de Face centrada (FCF).

Questão 2) [2,5] Esboce o gráfico de DRX para os quatro primeiros picos de difração **(a)** indicando os ângulos de difração (2θ) e **(b)** indexando os picos $\{h k l\}$.

OBSs: (1) Considerar o mesmo sistema abordado na questão 1. (2) considere uma radiação com comprimento de onda $\lambda = 1,54 \times 10^{-10} \text{ m}$.

Sei que será necessário indexar; vou listar os $\{h k l\}$ em ordem crescente de $h^2 + k^2 + l^2$.

tabela:

| $\{h k l\}$ | $h^2 + k^2 + l^2$ | cúbico simple | CCC | FCC |
|-------------|-------------------|---------------|------|-----|
| 100 | 1 | ✓ | ✗ | ✗ |
| 110 | 2 | ✓ | ✓ | ✗ |
| 111 | 3 | ✓ | ✗ .. | ✓ |
| 200 | 4 | ? | ✓ | ✓ |
| 210 | 5 | ✓ | ✗ | ✗ |
| 211 | 6 | ✓ | ✓ | ✗ |
| 220 | 8 | ? | ✓ | ✓ |
| 221, 300 | 9 | ✓ | ✗ | ✗ |
| 310 | 10 | ✓ | ✓ | ✗ |
| 311 | 11 | ✓ | ✗ | ✓ |
| 222 | 12 | ? | ✓ | ✓ |
| 320 | 13 | ✓ | | |
| 321 | 14 | ✓ | ✓ | ✗ |

| | | | | |
|----------|----|---|---|---|
| 400 | 16 | ✓ | ✓ | ✓ |
| 322, 410 | 17 | ✓ | ✗ | ✗ |
| 330, 411 | 18 | ✓ | ✓ | ✗ |
| 331 | 19 | ✓ | ✗ | ✓ |
| 420 | 20 | ✓ | ✓ | ✓ |
| 421 | 21 | ✓ | ✗ | ✗ |
| 332 | 22 | ✓ | ✓ | ✗ |
| 422 | 24 | ✓ | ✓ | ✓ |
| 430, 500 | 25 | ✓ | . | . |
| 431, 510 | 26 | ✓ | ✓ | ✗ |
| 333, 511 | 27 | ✓ | ✗ | ✓ |
| 432, 520 | 29 | ✓ | ✗ | ✗ |
| 521 | 30 | ✓ | ✓ | ✗ |

Obs: Desnecessário uma tabela tão completa. Várias 5 ou 6 linhas seriam suficientes

Solução:

Já sabemos que a estrutura é CFC; portanto os 4 primeiros hkl's são .

$$\{111\}, \{200\}, \{220\} \text{ e } \{311\}$$

Esses serão os índices para indexação.

Para a obtenção dos ângulos temos a relação

$$2d \operatorname{sen}(\theta) = m\lambda \quad "m=1".$$

$$\theta = \operatorname{sen}^{-1} \left(\frac{\lambda}{2d} \right),$$

Para os picos 1, 2, 3 e 4:

$$\theta_1 = \operatorname{sen}^{-1} \frac{\lambda}{2a} \sqrt{h_{\frac{1}{4}}^2 + k_{\frac{1}{4}}^2 + l_{\frac{1}{4}}^2}$$

Inserindo os dados ↴

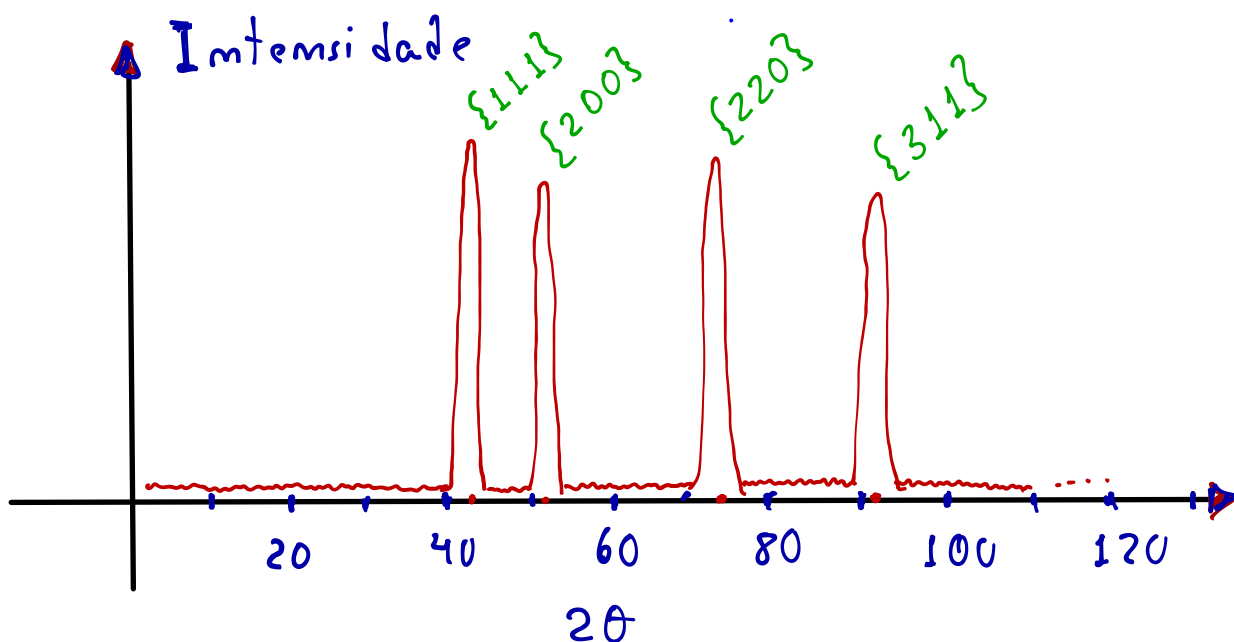
$$\theta_1 = \operatorname{sen}^{-1} \left(\frac{1,54 \cdot 10^{-10}}{2 \cdot 3,5778 \cdot 10^{-10}} \sqrt{1^2 + 1^2 + 1^2} \right) \approx 21,89^\circ$$

$$\theta_2 = \operatorname{sen}^{-1} \left(\frac{1,54 \cdot 10^{-10}}{2 \cdot 3,5778 \cdot 10^{-10}} \sqrt{2^2 + 0^2 + 0^2} \right) \approx 25,49^\circ$$

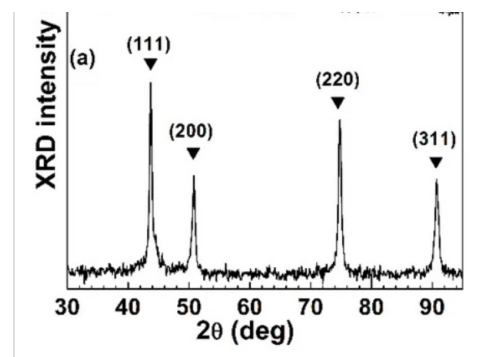
$$\theta_3 = \operatorname{sen}^{-1} \left(\frac{1,54 \cdot 10^{-10}}{2 \cdot 3,5778 \cdot 10^{-10}} \sqrt{2^2 + 2^2 + 0^2} \right) \approx 37,50^\circ$$

$$\theta_4 = \operatorname{sen}^{-1} \left(\frac{1,54 \cdot 10^{-10}}{2 \cdot 3,5778 \cdot 10^{-10}} \sqrt{3^2 + 1^2 + 1^2} \right) \approx 45,54^\circ$$

Esboço do gráfico $I(\theta)$.



Compare com o
espectro real



Questão 3)[2,5] Explique a característica do experimento de DRX que nos permite considerar $n = 1$ para os primeiros picos de difração. É possível ocorrer picos com $n = 2$?; justifique (em que condição?).

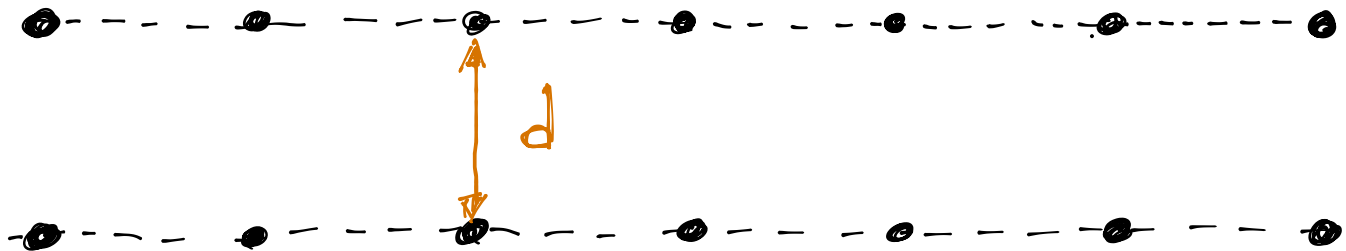
Resposta: A resposta para esta questão é discursiva/qualitativa.

Escolhe-se comprimento de onda da radiação X da ordem das distâncias interplanares. Assim, a distância percorrida a mais, pela fração da radiação que incide sobre um plâma subsequente (mais fundo), é também da ordem de λ . Para ângulos pequenos a diferença é mínima (memor que λ); a medida que o ângulo de incidência aumenta essa diferença cresce. O primeiro pico de difração ocorre para uma diferença (atraso) de λ ($m=1$), para a maior distância interplanar da amostra. O segundo pico para a 2ª maior distância (outro família de planos) também com $m=1$. Segue de forma similar para os vários picos dos maiores d's.

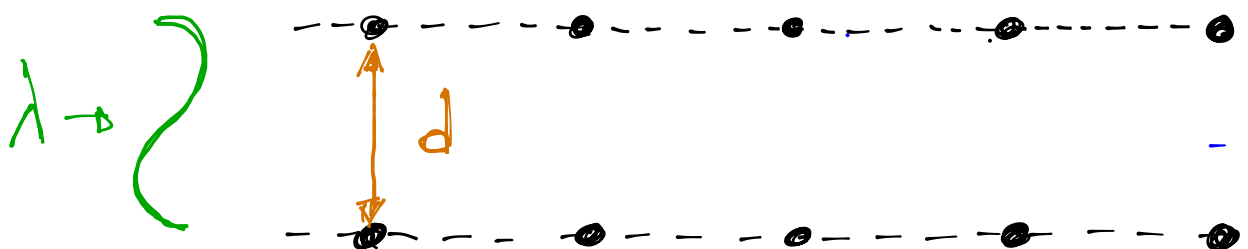
Obs: $m=2$ pode ocorrer para altos ângulos. Normalmente desnecessários para o processo de caracterização do material.

Ilustração do processo justificado acima

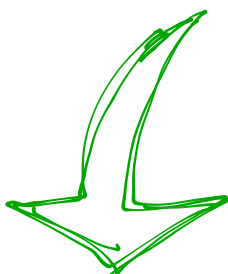
Consideremos um conjunto de planos com distância interplanar d .



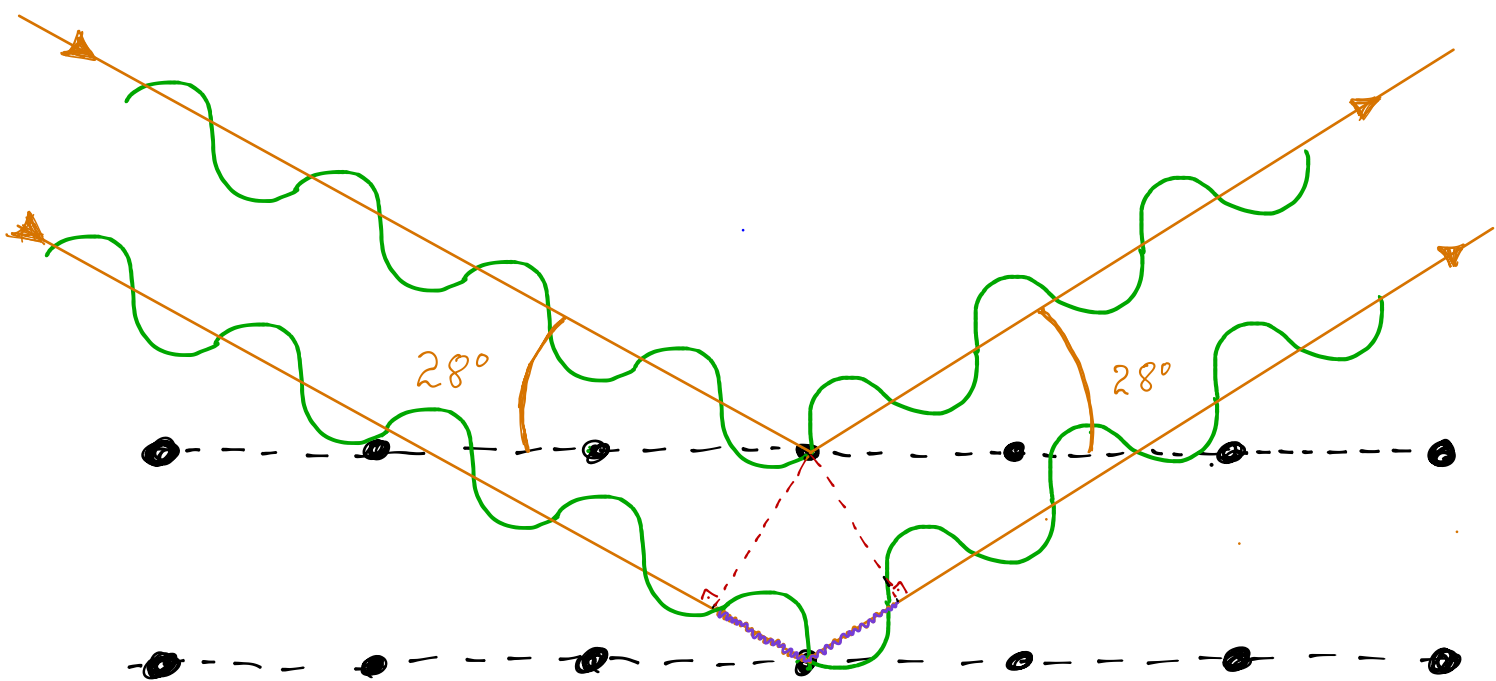
Consideremos também um feixe de radiação com comprimento de onda da ordem da distância interplanar; digamos $\lambda \approx d$.



Fazemos a onda incidir sobre os planos, mantendo as dimensões similares.

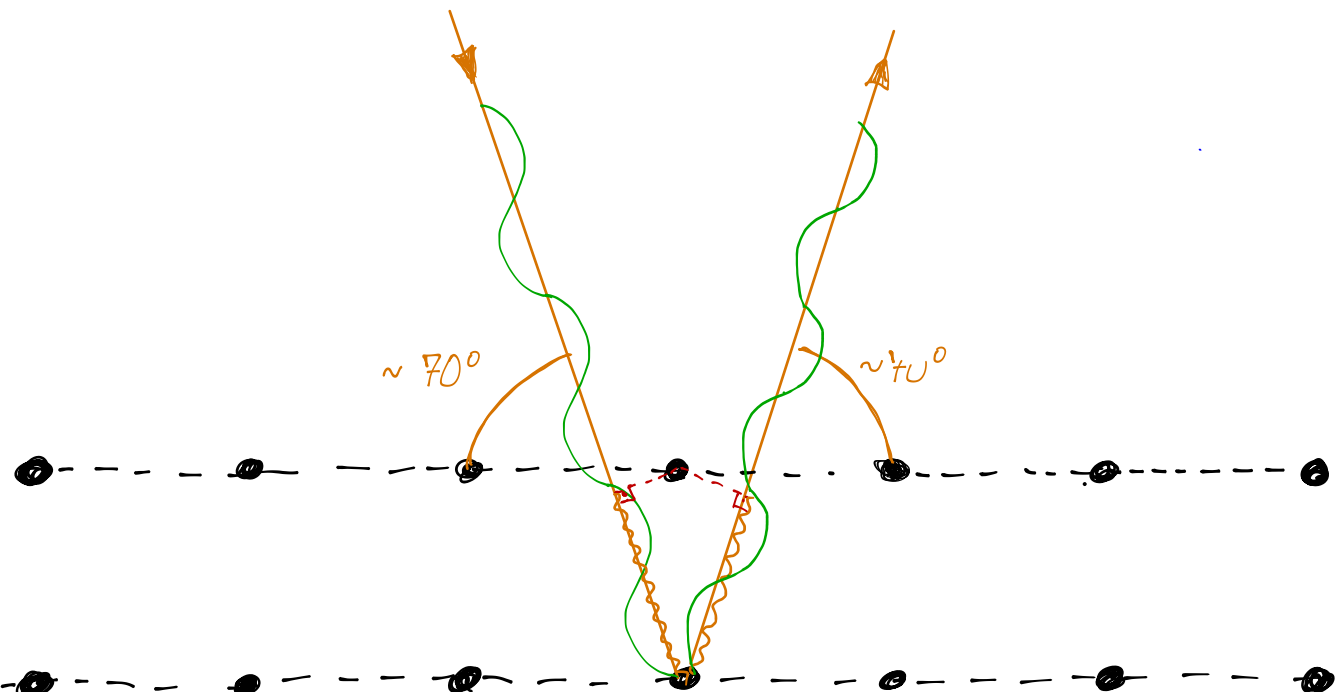


Em baixos ângulos:



A parte hachurada em cor roxa corresponde à diferença de caminho. Para $\lambda \approx d$, a diferença de 1λ ocorre para $\theta \approx 28^\circ$ (ver na figura acima).

Notar que $m=2$, para esse nível o $\frac{d}{\lambda}$, só ocorre para $\theta \approx 90^\circ$; pois como $\lambda \approx d$ é necessário ir e volta para conseguir a diferença de 2λ .



Resulta que $m=2$ (2λ) só tem chance de ocorrer para os maiores d's em ângulos próximos de 90° . Antes da ocorrência de $m=2$ obtém-se $m=1$ para os diversos d's em ordem decrescente. O primeiro $m=2$ ocorrerá (se ocorrer) para em altos ângulos e será referente à maior distância interplanar.

Questão 4)[2,5] (a) Calcular o fator de empacotamento de uma estrutura cúbica de face centrada. (b) O que este resultado significa?

$FE = \frac{\text{Espaço ocupado}}{\text{Volume disponível}}$. Esta definição aplicada

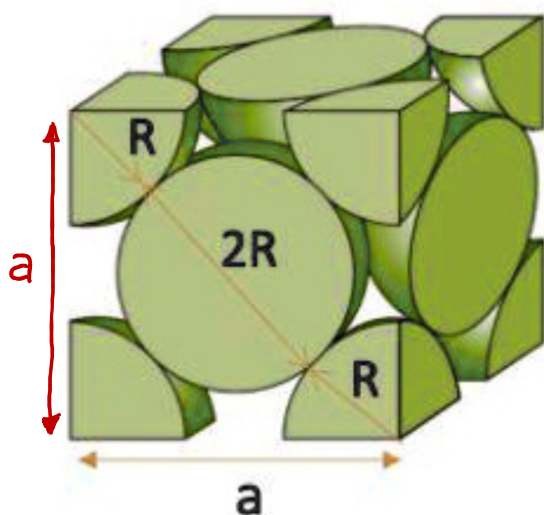
a uma célula unitária cúbica, resulta em
Número de átomos dentro da célula.

$$FE = \frac{N \cdot V_{at}}{a^3}$$

Volumen de um átomo $\left(\frac{4}{3}\pi r^3\right)$.

Volumen da célula.

Para uma célula CFC $\Rightarrow N=4$. Adicionalmente, o raio atómico pode ser escrito em função do parâmetro de rede a , como segue:



Pitágoras 2D:

$$(4r)^2 = a^2 + a^2$$

$$4r^2 = 2a^2$$

$$r = \frac{a}{4} \sqrt{2}$$



$$\Rightarrow FE = \frac{N V_{at}}{a^3} = \frac{4}{a^3} \cdot \frac{4\pi r^3}{3}$$

$$r^3 = \frac{a^3}{4^3} (\sqrt{2})^3 = \frac{a^3}{4^3} \cdot 2\sqrt{2}$$

$$\Rightarrow FE = \frac{\cancel{4^2}}{a^2} \cdot \frac{\pi}{3} \cdot \cancel{\frac{a^3}{4^3}} \cdot 2\sqrt{2} = \frac{2\pi}{12} \sqrt{2} = \frac{\pi}{6} \sqrt{2}$$

$FE \approx 0,74$ ou 74%

Sinificado: Significa que estruturas cúbicas de face centrada ocupam 74% do volume ocupado pelo material macroscópico.